

Достоинства:

- стабильность электрических параметров;
- высокая надежность;

Масса стабилитрона: не более 0,15.

Область применения:

- Для аппаратуры специального назначения.

Конструктивное исполнение



Основные электрические параметры

| Наименование параметра, единица измерения, (режим измерения) | Буквенное обозначение | Норма | | | | | | | | | | Температура, °С | |
|---|-----------------------|----------|----------|----------|----------|----------|----------|----------|----------|----------|----------|-----------------|-------|
| | | 2С411А | | 2С411Б | | 2С516А | | 2С516Б | | 2С516В | | | |
| | | не менее | не более | | |
| Напряжение стабилизации стабилитрона, В ($I_{ст} = 5 \text{ мА}$) | $U_{ст}$ | 7 | 8,5 | 8 | 9,5 | 9 | 10,5 | 10 | 12 | 11,5 | 14 | 25±10 | |
| Дифференциальное сопротивление стабилитрона, Ом ($I_{ст} = 5 \text{ мА}$) | $r_{ст}$ | | 6 | | 10 | | 12 | | 15 | | 18 | | 25±10 |
| | $r_{ст}$ | | 12 | | 18 | | 25 | | 30 | | 35 | | 25±10 |

Графики зависимостей

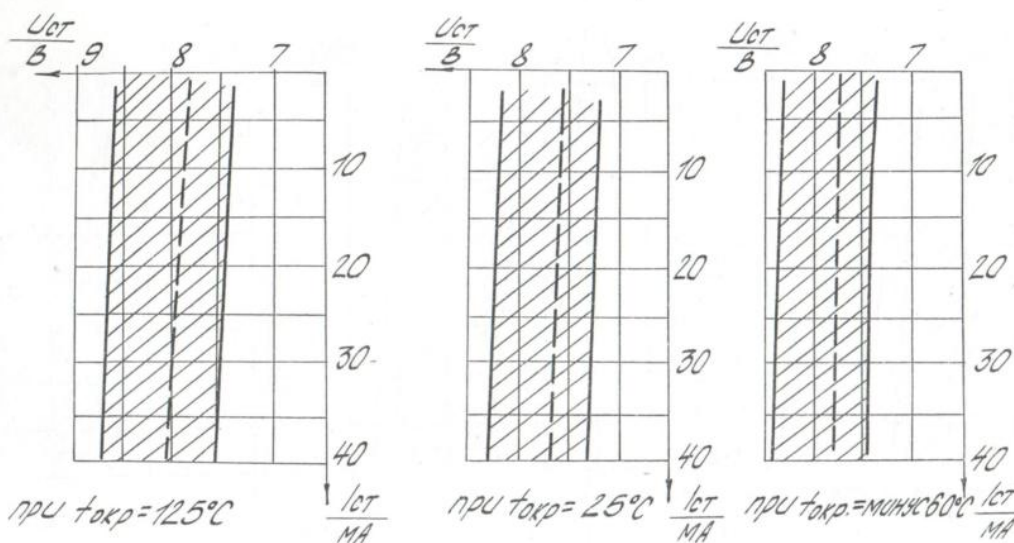


Рисунок 1 – Область разброса обратной ветви ВАХ для 95% стабилитронов 2С411А при различных температурах окружающей среды

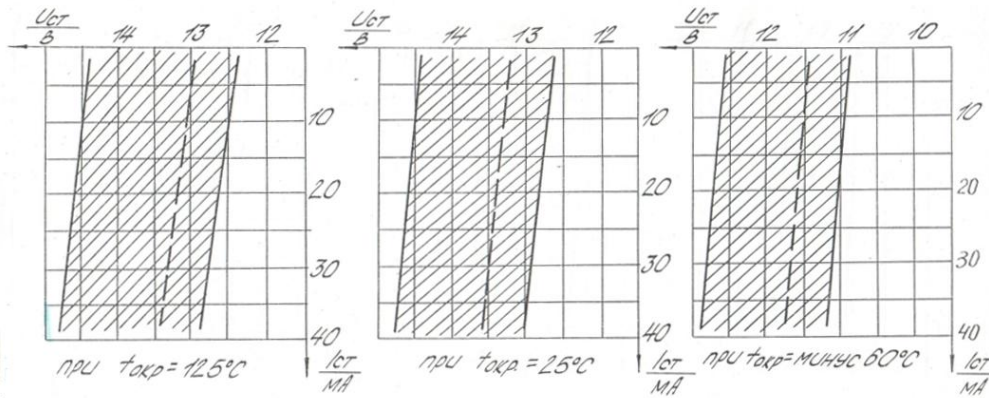


Рисунок 2 – Область разброса обратной ветви ВАХ для 95% стабилитронов 2С516В при различных температурах окружающей среды

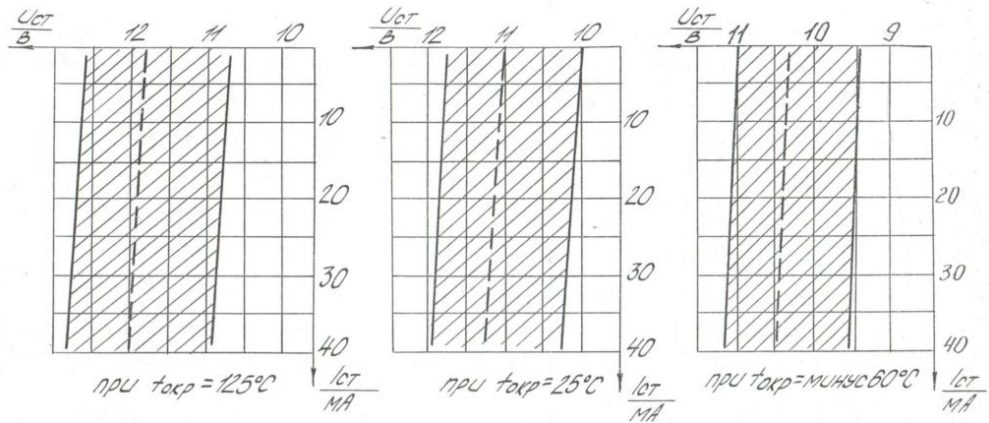


Рисунок 3 – Область разброса обратной ветви ВАХ для 95% стабилитронов 2С516Б при различных температурах окружающей среды

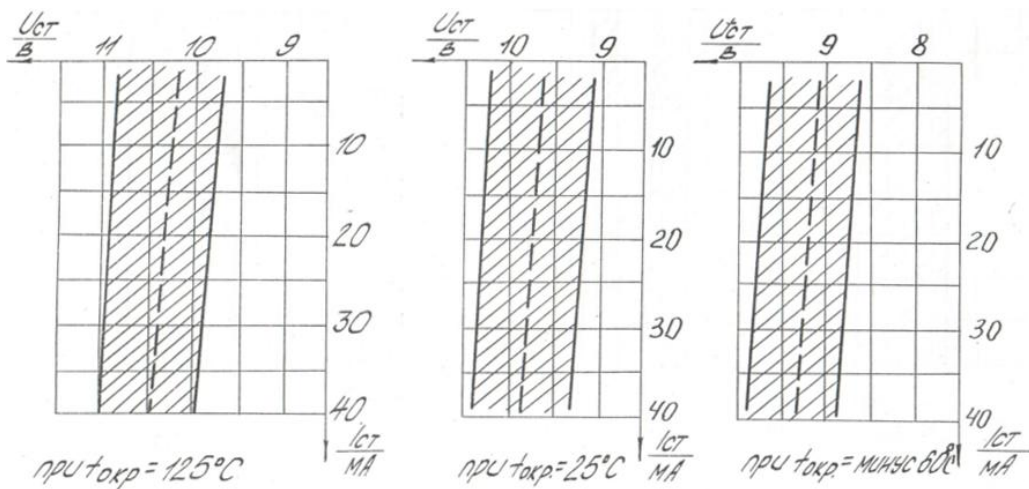


Рисунок 4 – Область разброса обратной ветви ВАХ для 95% стабилитронов 2С516А при различных температурах окружающей среды

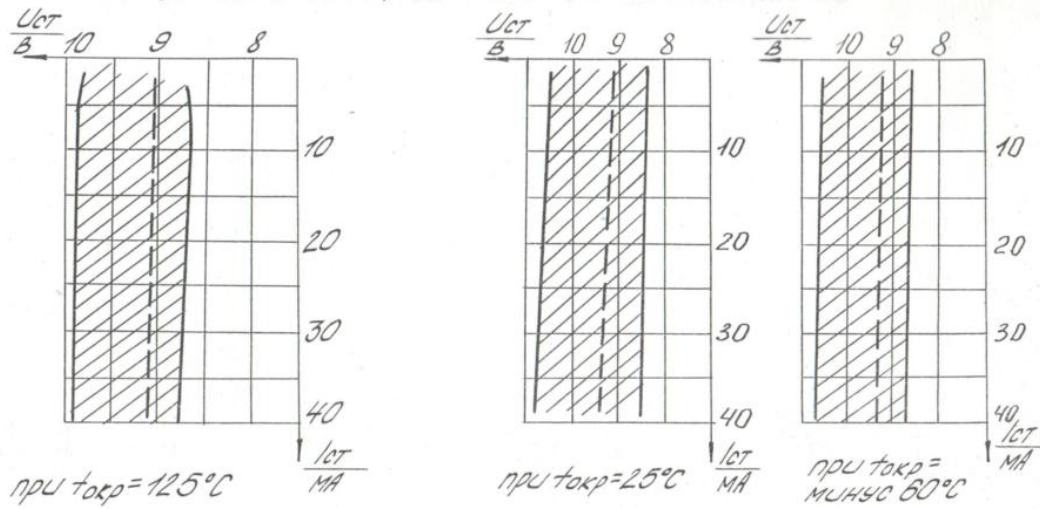


Рисунок 5 – Область разброса обратной ветви ВАХ для 95% стабилитронов 2С411Б при различных температурах окружающей среды

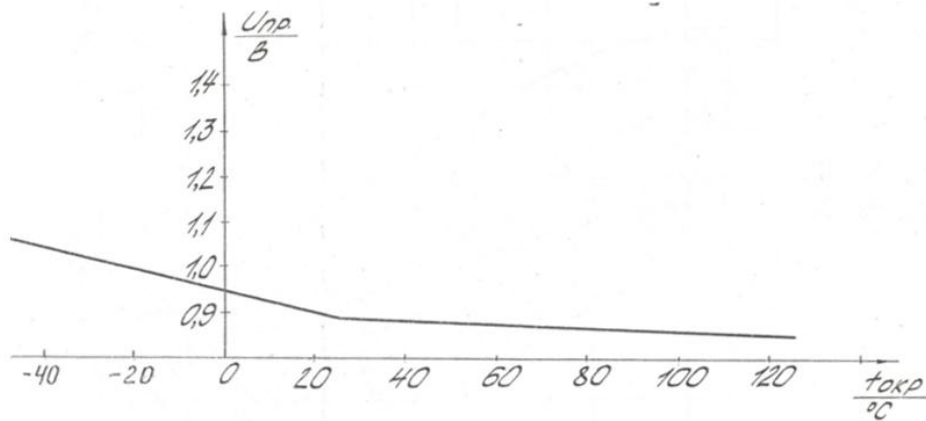


Рисунок 6 – Типовая зависимость прямого падения напряжения от $T_{окр.среды}$

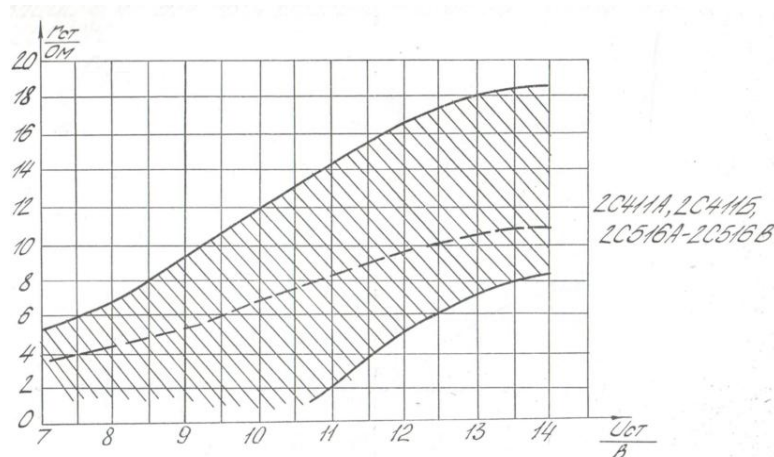


Рисунок 7 – Область разброса дифференциального сопротивления от напряжения стабилизации при токе стабилизации 3мА для 95% стабилитронов 2С516Б при различных температурах окружающей среды.

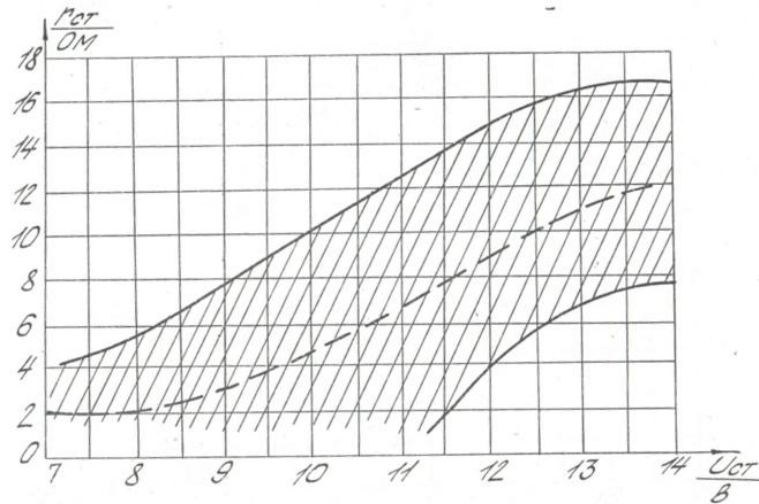
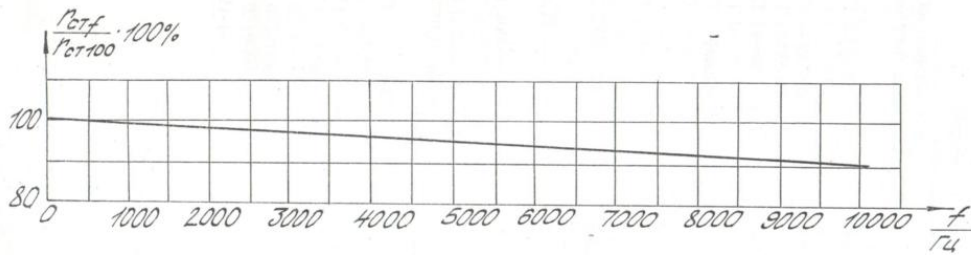


Рисунок 8 – Область разброса дифференциального сопротивления от напряжения стабилизации при токе стабилизации 5мА для 95% стабилитронов 2С516Б при различных температурах окружающей среды.



$R_{стf}$ - дифференциальное сопротивление стабилитрона на данной частоте
 $R_{ст100}$ - дифференциальное сопротивление стабилитрона на частоте 100 Гц

Рисунок 9 – Зависимость относительного изменения дифференциального сопротивления стабилитрона, измеренного при токе 5мА от частоты.